



تحلیل انرژی و اگزرزی سیکل ارگانیک رانکین با به کارگیری سیال کاری دو جزیی در شرایط مشخص منبع حرارتی

محمود چهار طاقی^{۱*}، مهدی بابائی^۲

۱- استادیار، مهندسی مکانیک، دانشگاه صنعتی شهرورد، شهرورد
 ۲- دانشجوی کارشناسی ارشد، مهندسی مکانیک، دانشگاه صنعتی شهرورد، شهرورد
 * شاهروند (صندوق پستی) ۳۶۱۹۹۵۱۶۱، chahartaghi@iust.ac.ir

چکیده

بازیافت گرمای اتلافی نقش مهمی در مدیریت منابع انرژی ایفا می‌کند. از سیکل ارگانیک رانکین می‌توان برای بازیابی حرارت اتلافی دما پایین استفاده نمود. این سیکل مشابه سیکل رانکین است و فقط از سیالات ارگانیک به عنوان سیال کاری در آن استفاده می‌شود. هدف از این تحقیق بررسی تاثیر استفاده از مخلوط‌های دو جزیی با شبیه‌های دمایی متفاوت هنگام تغییر فاز، بر روی عملکرد سیکل ارگانیک رانکین است. چهار مخلوط دو جزیی انتخاب شده عبارتند از: پتان نرمال/ایزو بتان، ایزو بتان/ایزو بتان، ایزو بتان و ایزو بتان/بوتان نرمال. در تحقیق حاضر، برای مقایسه منطقی تر در بازیابی حرارتی، دمای ورودی و خروجی سیال حامل حرارت منبع حرارتی و دمای جرمی آن ثابت در نظر گرفته شده است. نتایج نشان می‌دهد که با توجه به مطابقت شبیه دمایی در چگالنده و تبخیرکننده در استفاده از سیال مخلوط دو جزیی، در مقایسه با سیال کاری خالص افزایش بازده حرارتی و اگزرزی حدود ۹٪ در پیکربندی ساده و ۱۴٪ در سیکل با مبدل حرارتی داخلی، قابل دسترس است.

اطلاعات مقاله

مقاله پژوهشی کامل
دریافت: ۰۴ مهر ۱۳۹۲
پذیرش: ۲۱ آبان ۱۳۹۲
ارائه در سایت: ۲۷ اردیبهشت ۱۳۹۳
کلید واژگان:
سیکل ارگانیک رانکین
سیال مخلوط زنوتروپیک
مبدل حرارتی داخلی

Energy and exergy analysis of Organic Rankine Cycle with using two-component working fluid in specified heat source conditions

Mahmood Chahartaghi^{1*}, Mahdi Babaei²

1- Assistant Prof., Mech. Eng., Shahrood Univ. of Tech., Shahrood, Iran.
 2- MSc. Student, Mech. Eng., Shahrood Univ. of Tech., Shahrood, Iran.
 * P.O.B 3619995161 Shahrood, email: chahartaghi@iust.ac.ir

ARTICLE INFORMATION

Original Research Paper
 Received 26 September 2013
 Accepted 12 November 2013
 Available Online 17 May 2014

Keywords:
 Organic Rankine Cycle
 Zeotropic Mixture Fluid
 Internal Heat Exchanger

ABSTRACT

Waste heat recovery plays an important role in energy resource management. Low grade waste heat could be recovered by Organic Rankine Cycle (ORC). This is the same as the Rankine cycle which uses an organic working fluid. In this work the effects of using two-component mixtures with different temperature glides during phase change, on performance of a Organic Rankine Cycle are studied. Four two-component mixtures are selected: n-pentane/n-butane, isopentane/isobutene, n-pentane/isobutene and isopentane/n-butane. In this study for more reasonable comparison of thermal recovery, inlet and outlet temperatures heat carrier fluid in heat source and its mass flow rate are considered to be constant. Results show that utilization of a two-component mixtures, in comparison with pure fluids, increases both energetic and exergetic efficiencies approximately 9% and 14% for respectively simple and IHE(internal heat exchanger)-integrated configuration with respect to the temperature glide match in the condenser and evaporator.

برخوردار شود. در این میان فن‌آوری سیکل ارگانیک رانکین می‌تواند نقش پراهمیتی داشته باشد. این سیکل عملکردی همچون سیکل رانکین بازدار با این تفاوت که به جای آب از سیالات کاری ارگانیک استفاده می‌شود. با توجه به پایین بودن دمای بحرانی سیالات ارگانیک نسبت به آب، سیکل ارگانیک رانکین برخلاف سیکل رانکین بخار قادر خواهد بود از منابع حرارتی دما پایین از جمله حرارت‌های اتلافی در صنایع، یا حرارت‌های بدست آمده از منابع انرژی تجدیدپذیر همچون خورشیدی، زمین‌گرمایی و زیست توده استفاده کرده و تولید کار نماید.

۱- مقدمه
 دسترسی به انرژی از بنیادی ترین مولفه‌های توسعه در پیشرفت جوامع به شمار می‌رود؛ بنابراین منبع انرژی کافی و قابل اطمینان، نیاز هر جامعه توسعه یافته و در حال توسعه است. از طرف دیگر مصرف روزافزون سوخت‌های فسیلی باعث انتشار گازهای گلخانه‌ای، گرم شدن زمین و صدمه به محیط زیست شده است. کمبود سوخت‌های فسیلی و بالا رفتن تدریجی قیمت آن از یک سو و آلودگی‌های زیست محیطی از سوی دیگر باعث شده است استفاده از منابع انرژی با دمای متوسط یا پایین، از اهمیت ویژه‌ای

Please cite this article using:

M. Chahartaghi, M. Babaei, Energy and exergy analysis of Organic Rankine Cycle with using two-component working fluid in specified heat source conditions, *Mechanical Engineering*, Vol. 14, No. 3, pp. 145-156, 2014 (In Persian)

برای ارجاع به این مقاله از عبارت ذیل استفاده نمایید:

www.modares.ir

بررسی کرده و بازده قانون دوم را محاسبه کردند؛ نتایج نشان داد برای دمای منبع حرارتی زیر 120°C ، بازده می‌تواند تا 15% نسبت به استفاده از سیال کاری خالص، افزایش پیدا کند.

هرچند تحقیقات بسیاری به اهمیت اختلاف دمای ورودی و خروجی جریان منبع حرارتی بر عملکرد سیکل ارگانیک رانکین اشاره کرداند، اما عموماً تحقیقات بر اساس این اختلاف دمایی صورت نگرفته و تنها به عملکرد خود سیکل توجه شده است. به این ترتیب معمولاً ابتدا دما و فشار سیال کاری ورودی به توربین به منظور بهبود عملکرد سیکل، بهینه شده و پس از آن تحلیل اختلاف دمایی پیچ در تبخیرکننده، به منظور بدست آوردن دبی جریان منبع حرارتی و دمای خروجی آن، انجام می‌گیرد. به این دلیل که دبی جریان منبع حرارتی و دمای خروجی آن از ابتداء تعیین نشده است، بازده سیکل نیز، ارتباطی با کار تولیدی توربین نخواهد داشت. در چنین شرایطی زمانی که دمای خروجی جریان منبع حرارتی بالا باشد، حرارت کمتری با دمای بیشتر جذب سیکل شده و پیرو آن بازده سیکل بیشتر و کار تولید شده کمتر است و زمانی که دمای خروجی جریان منبع حرارتی کمتر باشد، حرارت بیشتری با دمای کمتر جذب سیکل شده و باعث بازده کمتر و کار تولیدی بیشتر خواهد شد [۷].

تحقیقاتی که دمای ورودی و خروجی و دبی جریان منبع حرارتی را از ابتداء تعیین نموده‌اند، بسیار اندک بوده و می‌توان به این موارد اشاره نمود: چن و همکاران [۷] با در نظر گرفتن دمای ورودی و خروجی و دبی مشخص برای جریان منبع حرارتی، روشی نوین برای محاسبات آن ارائه دادند؛ در این روش با ثابت در نظر گرفتن گرمای ویژه سیال حامل حرارت جریان منبع حرارتی، از تشابه دو مثلث ایجاد شده در نمودار $T-Q$ استفاده شده و برای ۵ حالت مختلف جریان منبع حرارتی، برای سیکل بدون مبدل حرارتی داخلی، تاثیرات سوپرهیت شدن سیال کاری (بنزن^{۱۲}) ورودی به توربین را بر عملکرد سیکل، از لحاظ انرژی و اگزرسی بررسی نمودند. چنین روشی در تحلیل سیکل ارگانیک رانکین باعث شد بازده بدست آمده با کار تولیدی توربین ارتباط مستقیم داشته باشد و می‌توان از آن برای رسیدن به بیشترین مقدار بازیابی حرارتی از حرارت‌های اталافی همچون گاز دودکش استفاده نمود. در شرایط در نظر گرفته شده، حالت بهینه، در اشباع یا اندکی سوپرهیت بودن بخار ورودی به توربین رخ داد و افزایش دمای ورودی توربین باعث کاهش فشار آن و کاهش بازده حرارتی شد.

چیس و همکاران [۸] تاثیرات استفاده از سیال کاری خالص و مخلوط متشكل از دو نوع و سه نوع سیال را در شرایطی که شرایط جریان منبع حرارتی (دمای ورودی و خروجی و دبی) ثابت باشد به ازای اختلاف دمایی مختلف ورودی و خروجی جریان منبع حرارتی، از لحاظ بازده حرارتی و کارتولیدی توربین، بررسی نموده و گزارش دادند در استفاده از سیالات مخلوط، افزایش بازده و تولید برق به ترتیب $15/7\%$ و $12/3\%$ نسبت به استفاده از سیال خالص، برای ورودی جریان منبع حرارتی با دمای 150°C و خروجی 135°C قابل دسترس است؛ این مقادیر برای دمای ورودی جریان منبع حرارتی 250°C و خروجی 180°C نیز به ترتیب $6/6\%$ و $5/5\%$ دست آمد و در حالت‌های بررسی شده، استفاده از سیال سه‌جزیی نسبت به سیال دوجزی، تاثیر بسیار اندکی بر بهبود بازده سیکل گذاشت. در این کار اختلاف دمای بهینه ورودی و خروجی جریان منبع حرارتی، به منظور بیشینه کردن کارتولیدی توربین نیز، مورد بررسی قرار گرفت. در راستای همین بررسی، مقدار بهینه درصد مولی سیالات

انتخاب سیال کاری مناسب می‌تواند در بهبود عملکرد چنین سیکلی تاثیر به سزاوی داشته باشد. برخلاف سیالات مخلوط، تا کنون مطالعات بسیاری بر روی سیالات خالص صورت گرفته است. به دلیل بررسی سیالات خالص اشاره تحقیق حاضر، تنها به موارد اندکی از تحقیقات با سیالات خالص اشاره می‌شود. لیو و همکاران [۱] چندین سیال کاری را در دمای‌های مختلف تبخیرکننده^۱ مورد بررسی قرار دادند و دریافتند که بازده تبخیرکننده در حالتی که سیالاتی با آنتالپی تبخیر پایین‌تر استفاده شوند، بیشینه خواهد بود. دای و همکاران [۲] استفاده از ۱۰ سیال کاری مختلف را بر روی عملکرد سیکل مطالعه کردند و نتیجه گرفتند در شرایط در نظر گرفته شده، اضافه کردن مبدل حرارتی داخلی به بهبود عملکرد سیکل کمکی نمی‌کند، همچنین برای سیالاتی که شب منحنی بخار اشباع آنها در نمودار $T-S$ منفی نیست، سوپرهیت کردن سیال باعث افزایش بازده نخواهد شد و در بین سیالات مطالعه شده نیز R236ea^{۱۳} به عنوان مناسب‌ترین سیال معرفی شد. ماگو و همکاران [۳] در دو پیکربندی مختلف از سیکل، قانون اول و دوم ترمودینامیک را مورد بررسی قرار داده و به این نتیجه رسیدند که وجود احیا کننده به کم شدن برگشت‌ناپذیری‌ها و افزایش بازده قانون اول و دوم کمک شایانی می‌کند. همچنین نتایج نشان داد در استفاده از سیال کاری خشک، نیازی به سوپرهیت کردن سیال در ابتدای توربین نیست؛ زیرا از طرفی بازده قانون اول تقریباً ثابت می‌ماند و از طرف دیگر مقدار بازگشت ناپذیری‌ها افزایش پیدا کرده و بازده قانون دوم کاهش پیدا می‌کند. مایکلوز و همکاران [۴] ویژگی‌های ترمودینامیکی و عملکردی سیالات متعددی را در حالات فوق بحرانی و زیر بحرانی برای کاربرد تولید گرما و قدرت در مصارف خانگی بررسی کردند. نتایج نشان داد از ۲۰ سیال بررسی شده اتانول، $\text{R}141b$ ^{۱۴} و $\text{R}123$ ^{۱۵} برای کاربرد یاد شده مناسب‌تر هستند. همچنین سیکل‌هایی که از سیالات در حالت فوق بحرانی استفاده کرده‌اند بازدهی حدود $5/5\%$ بیشتر از سیکل‌هایی که سیالات در آنها زیر بحرانی است، به دست آوردن؛ اما نیاز به مبدل‌هایی مترآکمتر و کارآمدتر داشتند.

یکی از کاستی‌های استفاده از سیال خالص در سیکل، این است که تبخیر و چگالش آن در یک دمای خاص رخ می‌دهد، در نتیجه سیال کاری نمی‌تواند با جریان منبع گرم و سرد مطابقت دمایی مناسبی داشته باشد و باعث بازگشت ناپذیری‌های زیاد، در تبخیرکننده و چگالنده^{۱۶} می‌شود. یکی از راه‌هایی که به حل نسبی این مشکل کمک می‌کند، استفاده از سیال مخلوط زئوتروپیک است. چنین سیالی در فشار ثابت، در یک باره دمایی تغییر فاز می‌دهد و استفاده از آن به عنوان سیال کاری می‌تواند در تبخیرکننده و چگالنده مطابقت دمایی بهتری با جریان گرم و سرد برقرار کند.

لی و همکاران [۵] بازده سیکل با سیال کاری دوجزی R141b/^{۱۷}RC318 با سه سیال کاری خالص مقایسه کردند، نتایج نشان داد استفاده از سیال دوجزی باعث گستردگی شدن دامنه انتخاب سیال کاری می‌شود، همچنین افزایش بازده حرارتی و اگزرسی بهدلیل اضافه کردن مبدل حرارتی داخلی برای سیال دوجزی بیشتر از سیال خالص بود. هیر و همکاران [۶] استفاده از سیال‌های کاری دوجزی ایزوپوتان^{۱۸}/ایزوپنتان^{۱۹}/R227ea/^{۲۰}R245fa را

1- evaporator

2- 1,1,1,2,3,3-hexafluoropropane, (CF₃CHFCH₂F)

3- Ethanol, (CH₃CH₂OH)

4- 1,1-dichloro-1-fluoroethane, (CH₃CCl₂F)

5- 2,2-dichloro-1,1,1-trifluoroethane, (CHCl₂CF₃)

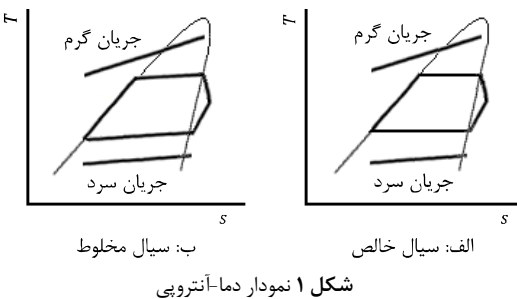
6- condenser

7- Octafluorocyclobutane, (-(CF₂)₄)

8- Isobutane, (CH(CH₃)₂CH₃)

9- Isopentane, ((CH₃)₂CHCH₂CH₃)

10- 1,1,1,2,3,3-heptafluoropropane, (CF₃CHFCF₃)



شکل ۱ نمودار دما-آنتروپی

جدول ۱ اجزاء مخلوط دو جزئی

شماره سیال کاری	جزء اول	جزء دوم
پوتان نرمال	پنتان نرمال	۱
ایزوپوتان	ایزوپوتان	۲
ایزوپوتان	پنتان نرمال	۳
بوتان نرمال	ایزوپوتان	۴

جدول ۲ ویژگی‌های ترمودینامیکی سیالات خالص [۸,۹]

پنتان نرمال	ایزوپوتان	بوتان نرمال	ایزوپوتان
۵۸/۱۲۲	۷۲/۱۵	۷۲/۱۲	۵۸/۱۲۲
نقطه جوش در ۱bar (°C)	۳۰۰/۹۸	۳۰۹/۲۱	۲۷۲/۶
دما برحرانی (°C)	۴۶۹/۷	۴۶۰/۳۵	۴۲۵/۱۳
فشار برحرانی (bar)	۳/۸	۳/۴	۳/۶

جدول ۳ مقادیر استفاده شده در شبیه سازی سیکل

شرایط	پارامترهای عملکرد
آب	ماده جریان منبع حرارتی
۵	فشار جریان منبع حرارتی (bar)
۱۵۰	دما برودی جریان منبع حرارتی (°C)
۱۱۰	دما خروجی جریان منبع حرارتی (°C)
۱۵	دی جریان منبع حرارتی (kgsm⁻¹)
آب	ماده جریان منبع سرد
۴	فشار جریان منبع سرد (bar)
۲۵	دما برودی جریان سرد (°C)
۳۵	دما خروجی جریان سرد (°C)
۲۵	دما محیط (°C)
۱	فشار محیط (bar)
۸۰	بازده آیزنتروپیک پمپ (%)
۶۵	بازده آیزنتروپیک توربین (%)
۲۰	پینچ در تبخیرکننده (°C)
۱۰	پینچ در چگالنده (°C)
۱۵	پینچ در مبدل حرارتی داخلی (°C)

۳- معرفی سیستم

دو نوع پیکربندی در تحقیق لحاظ شده است، پیکربندی اول سیکلی مشکل از پمپ، پیش گرم کن، تبخیرکننده، توربین، دی‌سوپرهیتر و چگالنده است، در پیکربندی دوم نیز مبدل حرارتی داخلی به پیکربندی اول اضافه شده است تا از این طریق تاثیرات مخلوط را کاهش دهد. مقدار استفاده شده در شبیه سازی سیکل سنجدیده شود. مقدار استفاده شده در شبیه سازی سیکل نیز از کار چیس و همکاران [۸] اخذ و با اضافه نمودن دما و فشار محیط (به منظور تحلیل اگزرسی)، در جدول ۳ بیان شده‌اند. پیکربندی‌های بررسی شده در شکل ۲ نشان داده شده و مطابق شکل ۲- ب عملکرد سیکل با مبدل حرارتی داخلی به این شرح است: ابتدا پمپ فشار سیال کاری را افزایش داده و سپس سیال

تشکیل دهنده هر سیال مخلوط نیز، بدست آمد. در تحقیق حاضر نیز، دمای ورودی و خروجی جریان منبع حرارتی و دبی آن، مقدار ثابتی تعیین شده است، از طرف دیگر بر روی چهار سیال دوجزی زئوتروپیک، حاصل چهار حالت ترکیب سیالات پنتان نرمال^۱، ایزوپوتان، بوتان نرمال^۲ و ایزوپوتان تحقیق شده است. انتخاب این چهار حالت ترکیبی به دلیل شبیه‌های دمایی متفاوتیست که هر مخلوط با توجه به اجزاء سازنده‌اش هنگام تغییر فاز در تبخیرکننده و چگالنده داشته و تحت تأثیر آن عملکرد سیکل را نیز تغییر می‌دهد. در این شرایط، عملکرد سیستم از لحاظ انرژی و اگزرسی در دو پیکربندی، یکی ساده و دیگری همراه با مبدل حرارتی داخلی و بدون سوپرهیت شدن بخار ورودی به توربین، بررسی شده است. با توجه به اینکه در کارهای پیشین، چنین بررسی‌ای برای یافتن تاثیرات شبیه‌های دمایی مختلف سیالات دوجزی بر عملکرد سیکل، انجام نگرفته است، و با توجه به اهمیت استفاده از این سیالات و تاثیر گذاری این پارامتر در خواص آنها، این مطالعه ضروری به نظر می‌رسد. استفاده از سیالات دوجزی از طرفی به افزایش بازده کمک می‌کند، و از طرف دیگر ثابت بودن شرایط جریان منبع حرارتی، مقایسه تاثیرات سیالات بر روی عملکرد سیکل را منطقی‌تر می‌نماید. همچنین قید در نظر گرفته شده، یعنی ثابت بودن شرایط جریان منبع حرارتی، در کاربردهایی که دمای خروجی جریان منبع حرارتی می‌باشد محدود شود، مانند استفاده از سیکل ارگانیک رانکین از منابع خورشیدی و یا در تولید همزمان برق و حرارت، می‌تواند مفید باشد.

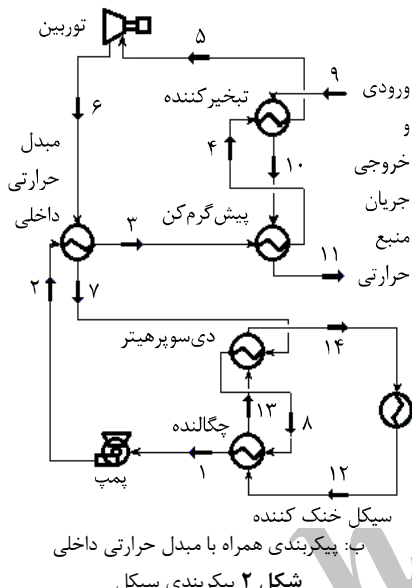
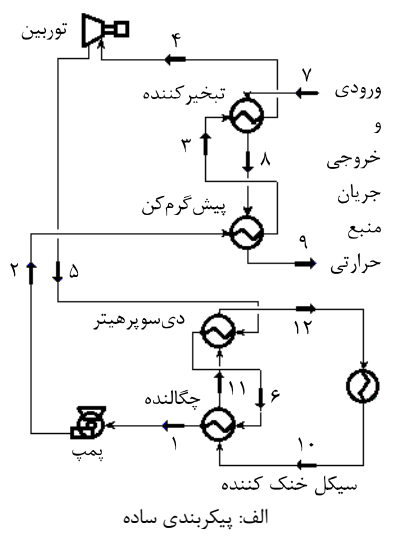
۲- ویژگی‌های سیال کاری

سیال دوجزی با خاصیت زئوتروپیک، برخلاف سیالات خالص، در فشار ثابت، در یک شبیه دمایی تغییر فاز می‌دهد. از این رو مطابقت دمایی آن با جریان منبع گرم و سرد در چگالنده و تبخیرکننده بهتر صورت می‌گیرد و کاهش اختلاف دمایی موجب کاهش اتلاف اگزرسی می‌شود. در شکل ۱ این موضوع نشان داده شده است. شبیه دمایی زیاد در تغییر فاز ممکن است باعث مقداری جدایی اجزاء مخلوط از یکدیگر شده و موجب تغییر درصد مولی اجزاء، در تبخیرکننده یا چگالنده شود [۶] اما در کار حاضر فرض شده درصد مولی اجزاء مخلوط در تمام نقاط سیکل پکسان است.

همان‌طور که در جدول ۱ نشان داده شده است، چهار سیال کاری دوجزی با اجزاء مختلف پنتان نرمال، ایزوپوتان، بوتان نرمال، ایزوپوتان برای بررسی انتخاب شده‌اند، اگر پارامتر λ درصد مولی جزء دوم مطابل دهتایی انجام گرفته بر روی $\lambda = 0$ هایی از $0 \text{--} 100$ و با فواصل دهتایی انجام گرفته است، بنابراین به ازای $\lambda = 0$ ، سیال حاصل فقط شامل جزء اول خواهد بود و به ازای $\lambda = 100$ سیال حاصل فقط شامل جزء دوم خواهد شد. به دلیل اینکه اجزاء مخلوط همگی سیالاتی هیدروکربنی هستند، به خوبی با یکدیگر ترکیب می‌شوند. لذا مخلوط حاصل نیز، خاصیت زئوتروپیک خواهد داشت؛ یعنی شبیه دمایی تغییر فاز سیال مخلوط، بین دو دمایی است که دو سیالات خالص تشکیل دهنده آن، در آن دمایها تغییر فاز می‌دهند. ویژگی‌های ترمودینامیکی سیالات خالص تشکیل دهنده سیالات مخلوط در جدول ۲ نشان داده شده است.

به این ترتیب و با توجه به اختلاف نقطه جوش این سیالات در فشار ۱bar، می‌توان گفت که سیال کاری اول و دوم شبیه دمایی متوسط، سیال کاری سوم شبیه دمایی زیاد و سیال کاری چهارم شبیه دمایی کمتری را در تبخیرکننده و چگالنده خواهند داشت. هدف از انتخاب چنین ترکیباتی علاوه بر اهمیت کاربرد آنها، بررسی شبیه‌های دمایی مختلف، بر عملکرد سیکل است.

1- N-Pentane, (CH₃CH₂CH₂CH₂CH₃)
2- N-Butane, (CH₃CH₂CH₂CH₃)



$$\dot{E}_{D,PH} = T_0 [\dot{m}_3(s_4 - s_3) + \dot{m}_{10}(s_{11} - s_{10})] \quad (12)$$

پیش گرم کن:

تبخیر کننده:

$$\dot{E}_{D,V} = T_0 [\dot{m}_1(s_5 - s_4) + \dot{m}_9(s_{10} - s_9)] \quad (13)$$

نسبت اتفافات اگزرسی هر جزء به کل اگزرسی وارد شده به سیکل با توجه به شکل ۲-ب طبق رابطه (۱۴) بدست می آید.

با توجه به شکل ۲-ب، بازده حرارتی (η_I) و اگزرسی (η_{II}) مطابق روابط (۱۵) و (۱۶)، به ترتیب از تقسیم کار خالص تولیدی بر حرارت و اگزرسی ورودی بدست می آیند [۱۱۰، ۱۱]. البته باید توجه داشت در کار حاضر به دلیل ثابت بودن شرایط جریان حرارتی در تمام حالت‌ها، انرژی و اگزرسی ورودی در تمام حالت‌ها یکسان است.

$$\eta_I = \frac{\dot{W}_{net}}{\dot{m}_9(h_9 - h_{11})} = \frac{\dot{W}_{net}}{\dot{m}_3(h_5 - h_3)} \quad (15)$$

$$\eta_{II} = \frac{\dot{W}_{net}}{\dot{E}_9 - \dot{E}_{11}} = \frac{\dot{W}_{net}}{\dot{m}_9[(h_9 - h_{11}) - T_0(s_9 - s_{11})]} \quad (16)$$

در مبدل حرارتی داخلی حرارت موجود در سیال خروجی از توربین را بازیابی کرده و وارد پیش گرم کن می شود، در پیش گرم کن سیال به وضعیت مایع اشباع می رسد و پس از آن در تبخیر کننده تغییر فاز داده و در وضعیت بخار اشباع قرار می گیرد؛ سپس بدون سوپرهیت شدن وارد توربین شده و پس از انبساط به بخار سوپرهیت در فشار و دمای پایین تر تبدیل می شود (به دلیل مثبت بودن شب منحنی بخار اشباع در نمودار دما-آنتروپی همانند شکل (۱) و سپس با این شرط که چگالش صورت نگیرد، مقداری از حرارت خود را در مبدل حرارتی داخلی از دست داده و وارد دی سوپرهیت شده و در صورتی که سیال کاری هنوز سوپرهیت باشد، بخار در این تجهیز اشباع شده و در نهایت در چگالنده تا قرارگیری در وضعیت مایع اشباع خنک می شود.

۴- فرضیات و روابط حاکم

در این مطالعه، شبیه سازی در حالت پایا انجام گرفته، افت فشار و اتلاف حرارت در اجزاء سیکل ناچیز فرض شده و از تغییرات انرژی پتانسیل و جنبشی نیز صرف نظر شده است.

با توجه به فرضیات انجام شده، روابط حاکم بدست می آیند [۱۱۰، ۱۱۱]. موازنۀ جرم، انرژی و اگزرسی برای حجم کنترل طبق روابط (۱) تا (۳) محاسبه می شوند.

$$\sum \dot{m}_{in} = \sum \dot{m}_{out} \quad (1)$$

$$\dot{Q} - \dot{W} = \sum \dot{m}_{out} h_{out} - \sum \dot{m}_{in} h_{in} \quad (2)$$

$$\dot{E}_{heat} - \dot{W} = \sum \dot{E}_{out} - \sum \dot{E}_{in} + \dot{E}_{D,Total} \quad (3)$$

در روابط بالا \dot{m} دبی جرمی سیال، \dot{Q} و \dot{W} به ترتیب حرارت ورودی و کار خروجی از مرز حجم کنترل، h آنتالپی و زیرنویس in و out به معنای ورود \dot{E}_{heat} و خروج است. مجموع نرخ اتفافات اگزرسی در اجزاء، $\dot{E}_{D,Total}$ محاسبه انتقال اگزرسی یا حرارت در دمای T است که طبق رابطه (۴) محاسبه می شود.

$$\dot{E}_{heat} = \sum (1 - T_0/T) \dot{Q} \quad (4)$$

زیرنویس ۰ به معنای وضعیت محیط، T به معنای دما و T_0 به معنای دمای محیط است.

برای محاسبه نرخ جریان اگزرسی یا \dot{E} از روابط (۵) و (۶) استفاده می شود.

$$e = h - h_0 - T_0(s - s_0) \quad (5)$$

$$\dot{E} = \dot{m} e \quad (6)$$

لازم به ذکر است در روابط بکار رفته s معرف آنتروپویی است.

نرخ اتفافات اگزرسی در هر جزء از سیکل نیز با توجه به شکل ۲-ب طبق روابط (۷) تا (۱۳) محاسبه می شود.

پمپ:

$$\dot{E}_{D,P} = \dot{m}_1 T_0 (s_2 - s_1) \quad (7)$$

توربین:

$$\dot{E}_{D,T} = \dot{m}_5 T_0 (s_6 - s_5) \quad (8)$$

دی سوپرهیتر:

$$\dot{E}_{D,DS} = T_0 [\dot{m}_1(s_8 - s_7) + \dot{m}_{13}(s_{14} - s_{13})] \quad (9)$$

چگالنده:

$$\dot{E}_{D,C} = T_0 [\dot{m}_1(s_1 - s_8) + \dot{m}_{12}(s_{13} - s_{12})] \quad (10)$$

مبدل حرارتی داخلی:

$$\dot{E}_{D,IHE} = T_0 \dot{m}_1 [(s_3 - s_2) + (s_7 - s_6)] \quad (11)$$

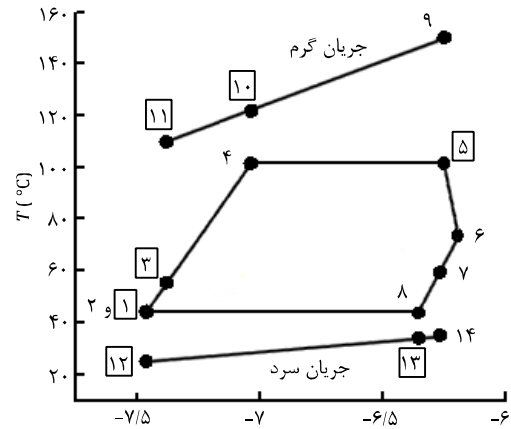
۵- روش حل

همان طور که در جدول ۳ مشخص است، جریان منبع حرارتی از آب خالص در فشار و دمای بالا تشکیل شده و دمای ورودی و خروجی آن به ترتیب 150°C و 110°C و دبی جرمی آن نیز در 15 kgs^{-1} ثابت است. به این ترتیب در تمام بررسی‌ها انرژی و اگزرسی ورودی به سیستم ثابت خواهد بود. هدف از قید مذکور در این تحقیق، مقایسه منطقی تر و تعیین صحیح تاثیر نوع سیال کاری در عملکرد سیکل است؛ زیرا متغیر بودن دمای خروجی جریان منبع حرارتی بر عملکرد سیکل و بازده تاثیر گذاشته و مانع از مقایسه منطقی عملکردها در حالت‌های مختلف می‌شود و در این صورت بازده و کار تولیدی نیز با یکدیگر ارتباط نخواهد داشت. در این شرایط مهندسین نمی‌توانند برای شرایط واقعی جریان منبع حرارتی مشخص، سیکل مناسب را انتخاب کنند.

به منظور لاحظ شرایط ثابت جریان منبع حرارتی در محاسبات سیکل، چن و همکاران [۷] روشی نوین ارائه کردند؛ الگوریتم حل در آن روش بر اساس فرض ثابت بودن مقدار گرمای ویژه سیال حامل حرارت جریان منبع حرارتی طراحی شده و با تکرار مناسب الگوریتم و حدس‌های مکرر فشار بیشینه سیکل، نزدیک شدن به مقدار صحیح دما و فشار سیال کاری در نقطه پیونج در تبخر کننده تا حد مناسبی قابل دسترس است.

اما در کار حاضر از روشی دیگر استفاده شده است. در این روش مطابق شکل ۳، که به عنوان نمونه نمودار دما-آنتروپی پیکربندی ب با سیال کاری اول و $\lambda=0$ (با توجه به شکل ۲-ب) نشان داده شده است، با استفاده از حدس اولیه برای دمای ۷ نقطه از سیکل به عنوان داده‌های ورودی، باید در نهایت پس از تکرار حدس‌ها، سیکل در وضعیت طراحی قرار گیرد، و مطابق جدول ۴ تکرار حدس هر ورودی تا جایی ادامه می‌باید تا تنها شرط مورد نظر آن برقرار شود. در نهایت پس از اینکه تمام ورودی‌ها اصلاح شدند، برقراری صورت عدم برقراری حتی یک شرط، تمام ورودی‌ها از نو اصلاح خواهند شد. الگوریتم استفاده شده جهت یافتن مقادیر صحیح ورودی، در شکل ۴ نشان داده شده است. جهت محاسبات این الگوریتم، از نرم‌افزارهای هایسیس [۱۴] و متلب [۱۵] و برقراری ارتباط آنها با یکدیگر استفاده شده است. پیکربندی سیکل و حل آن در هایسیس انجام گرفته و الگوریتم برقراری قیدها با استفاده از کد نوشته شده در متلب انجام شده است. بهمنظور انجام دقیق حل نیز، خصوصیات سیالات از پایگاه داده رفپوپ^۱ موجود در هایسیس [۱۴] برداشت شده است. برای اطمینان از دقت مدل‌سازی و کافی بودن دقت شرط جدول ۴ (0.01°C)، قسمتی از کار چیس و همکاران [۸] مربوط به سیال دوجزی ایزوپتان/ایزوپوتان با نسبت مولی $0.74/0.26$ ایزوپتان و ایزوپوتان، مدل‌سازی شده و نتایج مقایسه شد. پارامترهای سیکل مدل‌سازی شده و نتایج حاصل از مقایسه به ترتیب در جدول ۵ و ۶ نشان داده شده است. همان‌طور که مشخص است، نتایج حاصل از کار حاضر با نتایج مرجع [۸] بسیار نزدیک است.

لازم به ذکر است در مرجع [۸] نیز دمای ورودی و خروجی و دبی جریان منبع حرارتی ثابت در نظر گرفته شده است. در مرجع [۸]، چیس و همکاران مدل‌سازی خود را با نتایج حاصل از نرم‌افزار شبیه‌سازی سایکل-تمپو^۲ [۱۶] مقایسه و صحبت‌سنجدی نموده‌اند. همچنین بهینه‌سازی بر اساس روش گرادیان کاهش یافته عمومی^۳ [۱۷] که برای سیستم‌های غیر خطی به کار می‌رود، با تلرانس همگرایی^۴ 10^{-4} انجام گرفته است.



شکل ۳ نمودار دما-آنتروپی سیال کاری اول با $\lambda=0$ برای پیکربندی ب. همزمان تمام شرط بررسی شده و در دمای نقاطی که در مربع قرار گرفته است داده‌های ورودی برای حل سیکل هستند.

جدول ۴ ورودی‌ها و شرطی که می‌بایست برقرار شود

شرط ^(*)	شماره ورودی ^(*)
$T_{11} = 110$	T_{11} ۱
$ T_2 - 150 < 0.01$	T_{10} ۲
$ T_{10} - T_4 - 20 < 0.01$	T_5 ۳
$ \min[(T_6 - T_3), (T_7 - T_2)] - 15 < 0.01$	T_3 ^(**) ۴
$ \min[(T_1 - T_{12}), (T_8 - T_{13})] - 10 < 0.01$	T_1 ۵
$ T_{14} - 35 < 0.01$	T_{13} ۶
$T_{12} = 25$	T_{12} ۷

^(*) به معنای دماست. تمام دمایها و اعداد به کار رفته بر حسب درجه سانتی گراد است.

^(**) در صورت تغییر فاز سیال کاری در مبدل حرارتی داخلی، برای جلوگیری از آن، اختلاف دمای پیونج بیشتر از 15°C در نظر گرفته می‌شود.

حال برای بررسی جزئیات بیشتر روابط (۱۷) تا (۲۰) تعریف می‌شوند. انرژی منتقل شده از هر مبدل حرارتی از رابطه (۱۷) پیروی می‌کند.

$$\dot{Q} = U \cdot A \cdot LMTD$$

در رابطه فوق U ضریب کلی انتقال حرارت، A مساحت مبدل و $LMTD$ ضربشان یعنی UA . ظرفیت مبدل با دیمانسیون ($\text{kW}\cdot\text{K}^{-1}$) است. $LMTD$ نیز اختلاف دمای متوسط لگاریتمی است که طبق رابطه (۱۸) محاسبه می‌شود.

$$LMTD = \frac{\Delta T_{in} - \Delta T_{out}}{\ln \frac{\Delta T_{in}}{\Delta T_{out}}} \quad (18)$$

برای مقایسه کارایی توربین و سنجش آن از نظر اقتصادی در حالت‌های مختلف، با توجه به موثر بودن دبی حجمی گاز ورودی به توربین در اندازه و هزینه‌های آن، ضریب اقتصادی توربین مطابق رابطه (۱۹) تعریف می‌شود:

$$C_T = \frac{\dot{V}_5}{\dot{W}_{net}} \quad (19)$$

برای سنجش سیال کاری استفاده شده به ازای کار تولیدی نیز، ضریب اقتصادی سیال کاری با توجه به نسبت دبی جرمی سیال به توان تولیدی سیکل، طبق رابطه (۲۰) محاسبه می‌شود.

$$C_{WF} = \frac{\dot{m}_1}{\dot{W}_{net}} \quad (20)$$

در دو رابطه فوق \dot{V}_5 دبی حجمی گاز ورودی به توربین، \dot{m}_1 دبی جرمی سیال کاری در سیکل و \dot{W}_{net} نیز کار خالص تولیدی است.

1- RefProp, REference fluid PROPERTIES (NIST Standard Reference Database)

2- Cycle-Tempo

3- Generalized reduced gradient method

جدول ۵ مقادیر سیکل مقایسه شده در صحبت سنجی

شرایط	پارامترهای عملکرد
آب	ماده جریان منبع حرارتی
۵	فشار جریان منبع حرارتی (bar)
۱۵۰	دماهی ورودی جریان منبع حرارتی (°C)
۱۳۵	دماهی خروجی جریان منبع حرارتی (°C)
۱۵	دبی جریان منبع حرارتی (kg·s⁻¹)
آب	ماده جریان منبع سرد
۴	فشار جریان منبع سرد (bar)
۲۵	دماهی ورودی جریان سرد (°C)
۳۵	دماهی خروجی جریان سرد (°C)
۸۰	بازده آیزنتروبیک پمپ (%)
۶۵	بازده آیزنتروبیک توربین (%)
۹۷	بازده ژنراتور (%)
۲۰	پینچ در تبخیرکننده (°C)
۱۰	پینچ در چگالنده (°C)
۱۵	پینچ در مبدل حرارتی داخلی (°C)

جدول ۶ مقایسه نتایج

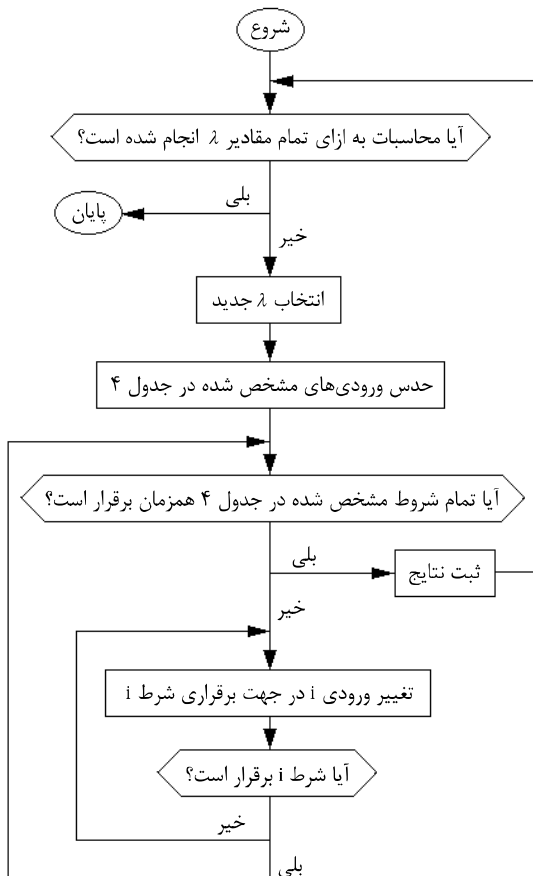
کار حاضر	کار چیزی و همکاران [۸]	پارامترهای عملکرد
۹۶۵	۹۶۶	انرژی ورودی (kW)
۱۵/۲	۱۵/۳	فشار تبخیرکننده (bar)
۲/۱۷	۲/۲	فشار چگالنده (bar)
۶/۹۹	۷	نسبت فشار
۲/۳۷۵	۲/۳۸	دبی سیال کاری (kg·s⁻¹)
-۶/۵۶	-۶/۶	صرف پمپ (kW)
۱۱۲/۶	۱۱۲/۸	برق ناخالص تولیدی (kW)
۱۰/۹۹	۱۰/۹۹	بازده سیکل (%)

۶- بازده و اتفافات

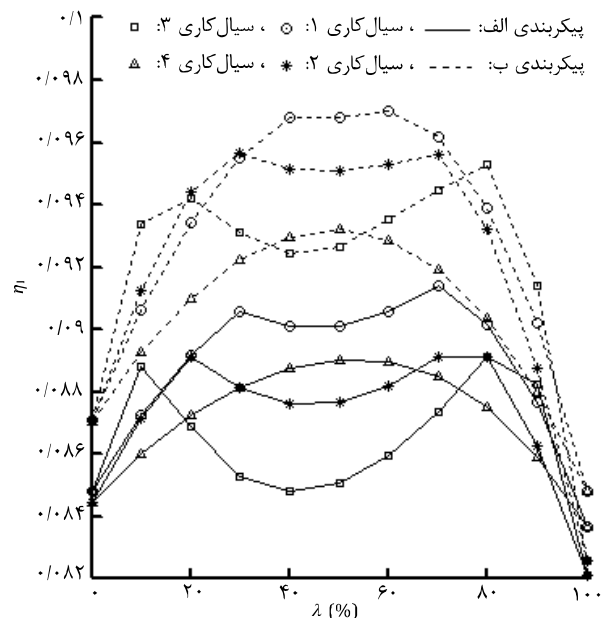
بازده حرارتی و اگزرسی با توجه به λ , درصد مولی جزء دوم, به ترتیب در شکل های ۵ و ۶ نشان داده شده اند. همان طور که نشان داده شده، استفاده از مخلوط به عنوان سیال کاری تاثیر قابل ملاحظه ای بر بازده حرارتی و اگزرسی سیکل می گذارد. به طور مثال در پیکربندی ب, استفاده از سیال کاری اول با $\lambda=60$ نسبت به سیال های خالص پنتان نرمال و بوتان نرمال, به ترتیب باعث افزایش بازده حرارتی $11/4\%$ و $14/4\%$ شده است. افزایش بازده اگزرسی نیز همین مقدار است.

وجود مبدل حرارتی داخلی در پیکربندی ب نیز باعث افزایش بازده حرارتی و اگزرسی نسبت به پیکربندی الف شده است. از سوی دیگر تاثیر مثبت استفاده از سیال کاری مخلوط در پیکربندی ب بیش تر از پیکربندی الف است, به طور مثال برای سیال کاری اول با $\lambda=30$ نسبت به پنتان نرمال خالص بازده حرارتی و اگزرسی در پیکربندی الف هر کدام $6/75\%$ زیاد شده است, در حالی که این مقادیر برای پیکربندی ب $9/6\%$ است.

همان طور که در شکل ۵ و ۶ نشان داده شده به غیر از سیال کاری چهارم, در بقیه سیال های کاری با نزدیک شدن مقدار λ به مقادیر میانی, از روند افزایشی بازده حرارتی و اگزرسی کاسته شده و یا حتی افت می کند؛ این مسئله برای سیال کاری سوم در پیکربندی الف نمایان تر است. در شکل ۷ نمودار دما آنتروبی سیال کاری سوم در پیکربندی الف به ازای $\lambda=0$, $\lambda=10$, $\lambda=40$ و $\lambda=40$ نشان داده شده است. همان طور که مشخص است به ازای $\lambda=0$ سیال کاری, پنتان نرمال خالص بوده و هیچ شیب دمایی هنگام تغییر فاز وجود ندارد.



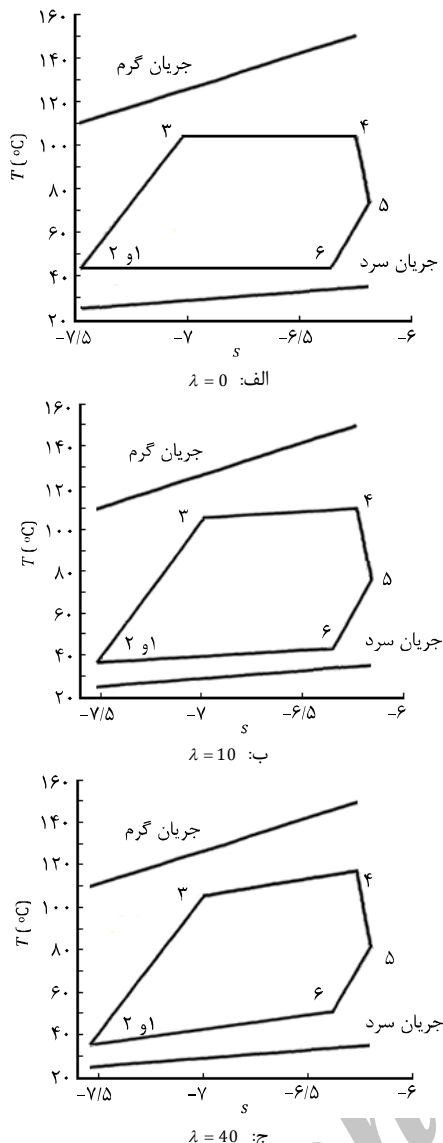
شکل ۴ الگوریتم استفاده شده جهت یافتن مقادیر صحیح ورودی. مقادیر λ با توجه به جدول ۴ از یک تا هفت است.



شکل ۵ بازده حرارتی سیکل در پیکربندی و سیالات کاری مختلف در مقابل درصد مولی سیال تشکیل دهنده دوم

۶- نتایج و بحث

پس از انجام شبیه سازی، پارامترهای مهم عملکردی سیکل مورد بررسی قرار می گیرند.



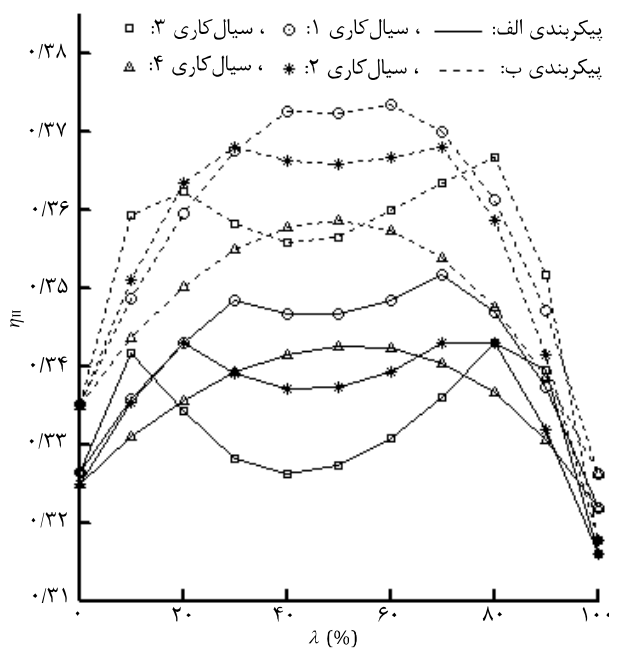
شکل ۷ نمودار دما-انتروپی سیال کاری سوم در پیکربندی الف

مثلث برای سیال کاری اول با $\lambda = 30$ ، اضافه کردن مبدل حرارتی داخلی در پیکربندی ب، مطابق شکل ۸-ج و ۸-د می تواند به ترتیب باعث کاهش 0.0329 و 0.015 اتلاف اگزرسی نسبی (بر) در پیش گرم کن و تبخیر کننده (روی هم) و دی سوپرهیتر و چگالنده (روی هم) شود.

۶- رفتار سیالات کاری مختلف در مبدل های حرارتی

چهار مخلوط مختلفی که به عنوان سیال کاری استفاده شدند، مطابق شکل ۹، چهار شیب دمایی مختلف در تبخیر کننده و چگالنده ایجاد می کنند. در سیال کاری سوم با توجه به اختلاف دمای 62°C در دمای بحرانی اجزاء آن، این مخلوط بیشترین شیب دمایی را دارد، پس از آن سیال کاری دوم، اول و چهارم به ترتیب با داشتن اختلاف دمای 53°C ، 44°C و 35°C در دمای بحرانی سیالات تشکیل دهنده خود، بیشترین شیب دمایی را در تبخیر کننده و چگالنده دارا هستند.

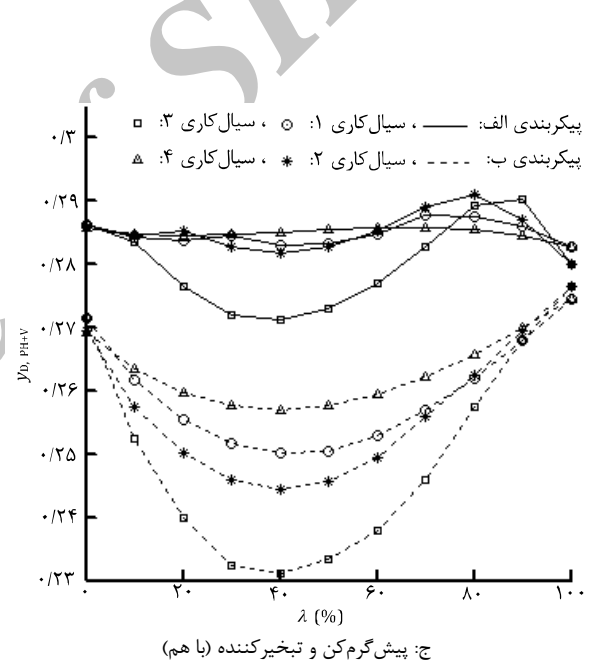
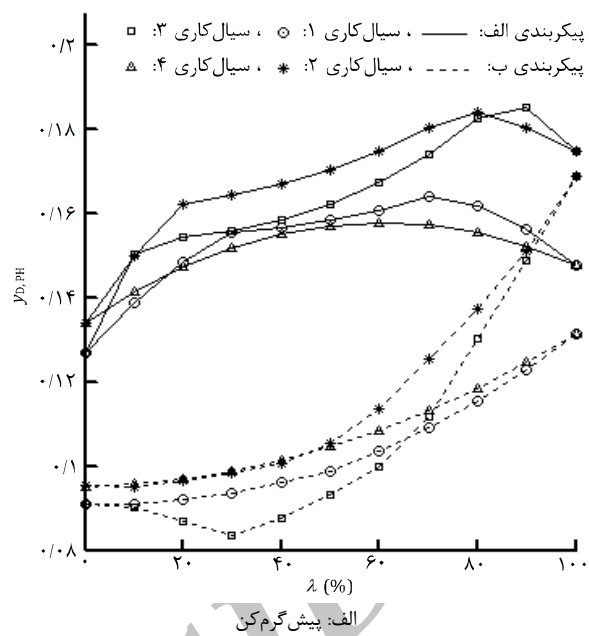
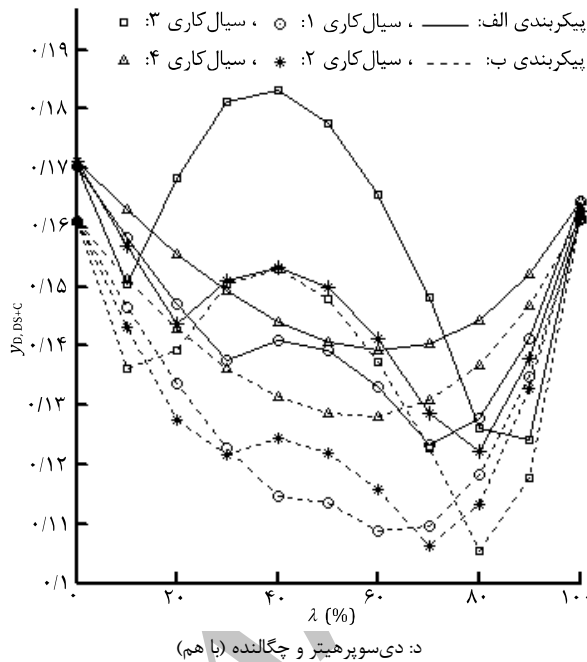
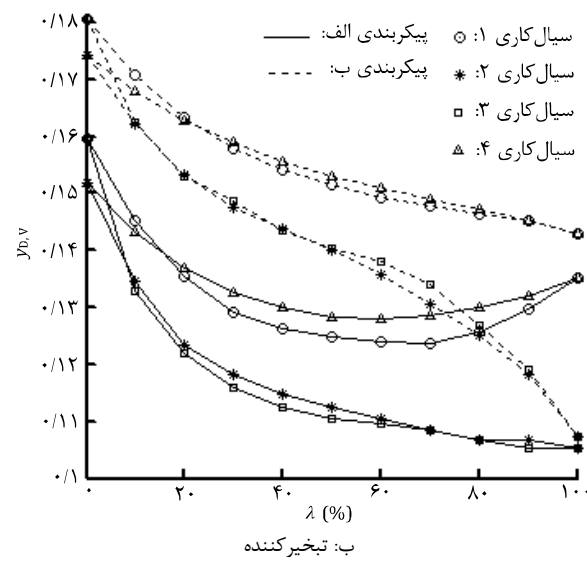
مطابق شکل ۹ استفاده از مبدل حرارتی داخلی تغییرات اندکی بر روی شیب دمایی می گذارد و در چگالنده در شرایطی که فشار، از فشار تبخیر کننده کمتر است، شیب دمایی در تغییر فاز سیال کاری، بیشتر از تبخیر کننده است.



شکل ۶ بازده اگزرسی سیکل در پیکربندی و سیالات کاری مختلف در مقابل درصد مولی سیال تشکیل دهنده دوم

به ازای $\lambda = 10$ نسبت مولی سیال کاری $1/1$ برای ایزو بوتان و $9/10$ برای پنتان نرمال بوده و در چگالنده، شیب دمایی تغییر فاز مطابقت بسیار خوبی با شیب جریان سرد دارد (با حفظ اختلاف دمای پینچ) و این باعث کاهش اتفاقات اگزرسی در چگالنده می شود. از سوی دیگر شیب دمایی در تبخیر کننده نیز به افزایش بازده کمک می کند.

اما در شکل ۷-ج به ازای $\lambda = 40$ و با وجود این که شیب دمایی در تبخیر کننده افزایش یافته و اتفاقات اگزرسی در آن کمتر شده است، اما از طرف دیگر در چگالنده، تغییر فاز در شیبی بیشتر از شیب جریان سرد رخ می دهد و این باعث عدم مطابقت دمایی مناسب در چگالنده شده و افزایش اتفاقات اگزرسی در آن باعث کاسته شدن از روند افزایشی بازده و یا حتی افت بازده حرارتی و اگزرسی می شود. در شکل ۸ نسبت اتفاقات اگزرسی در پیش گرم کن، تبخیر کننده و مجموعه دی سوپرهیتر و چگالنده، به کل اگزرسی ورودی به سیکل، نشان داده شده است و همان طور که در شکل ۸-د مشخص است، با نزدیک شدن λ به مقادیر میانی، مقدار اتفاق اگزرسی در دی سوپرهیتر و چگالنده به دلیلی که گفته شد (عدم مطابقت مناسب شیب های دمایی) بیشتر شده است. همچنین شیب دمایی ایجاد شده در چگالنده باعث پایین تر رفتن دما در خروجی پمپ شده، بنابراین دمای ورودی پیش گرم کن در پیکربندی الف کاسته شده و پیرو آن مطابقت دمایی کمتر، و مطابق شکل ۸-الف، اتفاقات اگزرسی در آن بیشتر می شود؛ اما از طرف دیگر شیب دمایی در تبخیر کننده باعث کمتر شدن اتفاقات اگزرسی در تبخیر کننده شده و همان طور که در شکل ۸-ج مشخص است، در مجموع اتفاقات اگزرسی در پیش گرم کن و تبخیر کننده روی هم کاهش یافته است. وجود مبدل حرارتی داخلی به دلیل این که حرارت را از خروجی توربین به خروجی پمپ منتقل می کند، از طرفی باعث خنک شدن سیال در خروجی توربین می شود و از این طریق باعث کاهش اتفاقات اگزرسی در دی سوپرهیتر می شود و از طرف دیگر باعث گرم کردن سیال در خروجی پمپ شده و باعث کاهش اتفاقات اگزرسی در پیش گرم کن نیز می شود.



شکل ۸ اختلافات اگزرسی نسبی، در مقابل درصد مولی سیال تشکیل دهنده دوم

نسبت به سیالات تشکیل دهنده اول خود، $LMTD$ را به ترتیب، ۶ و $4/4^{\circ}C$ کاهش دهنده.

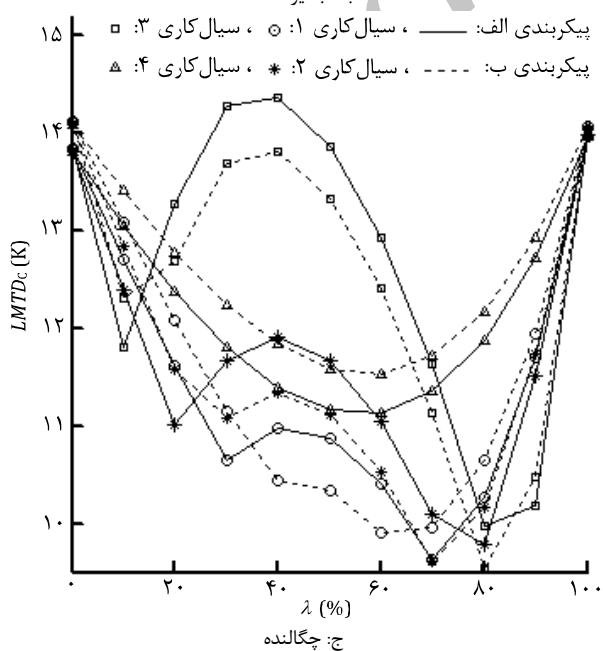
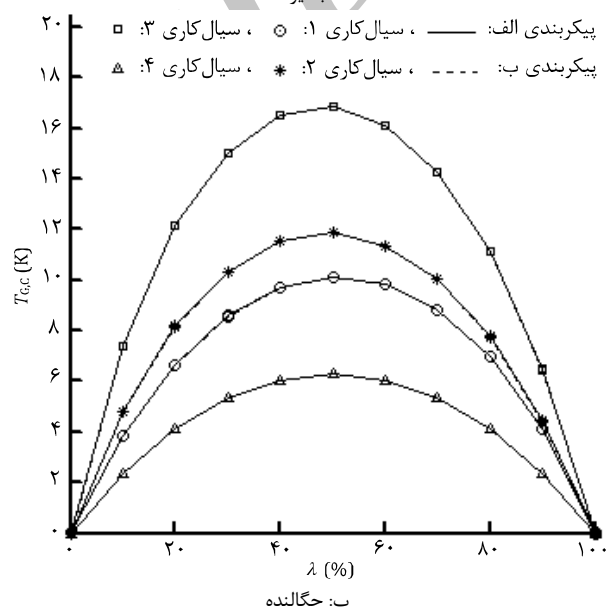
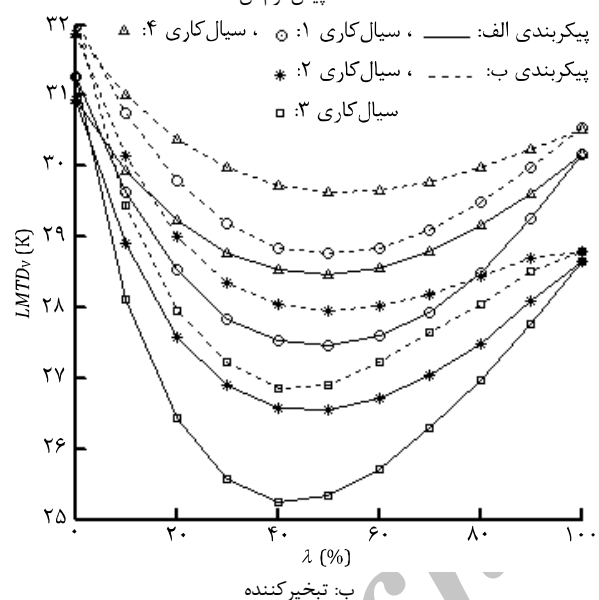
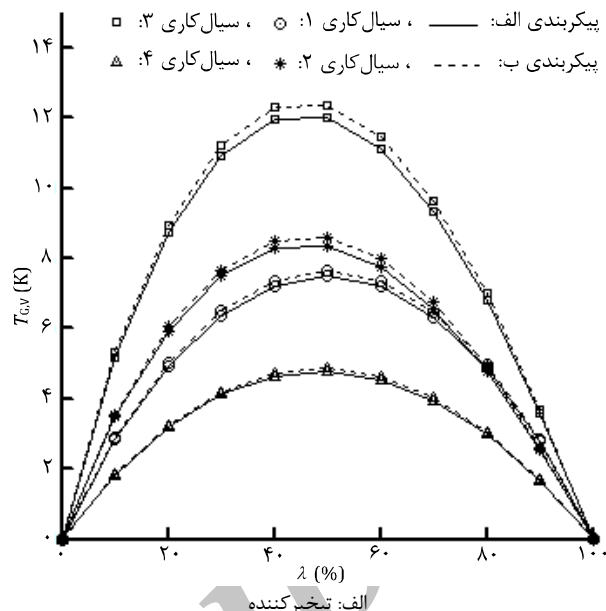
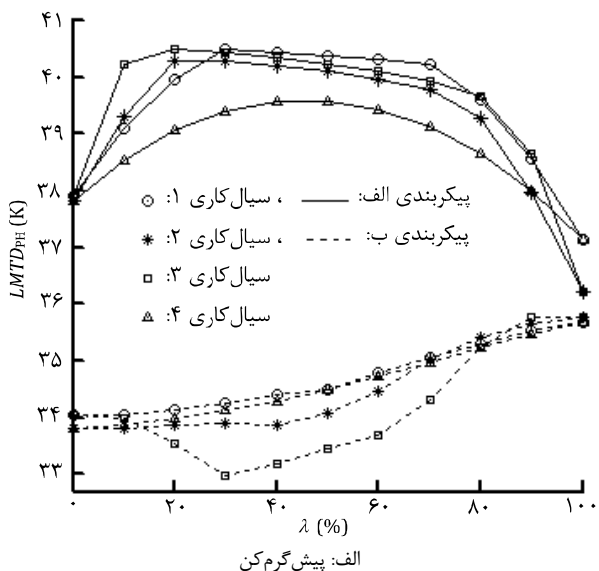
با توجه به اینکه فرض مدل‌سازی بر این است که جریان سرد با دمای $25^{\circ}C$ وارد چگالنده شده و با دمای $35^{\circ}C$ از دی‌سوپرهیتر خارج می‌شود و با توجه به اینکه قسمتی از این جریان به خنک کردن بخار سوپرهیت خروجی از توربین (پیکربندی α) یا مبدل حرارتی داخلی (پیکربندی β) و رساندن آن به بخار اشباع اختصاص دارد، پس اختلاف دو سر شبیب دمایی جریان سرد که سیال کاری توسط آن در چگالنده تغییر فاز می‌دهد می‌تواند کمتر از $10^{\circ}C$ باشد.

بنابراین با توجه به شکل ۹-ب هر سیال کاری در مقدار λ ای که شبیب دمایی آن با شبیب دمایی جریان سرد در چگالنده (اختلاف دو سر شبیب کمتر از $10^{\circ}C$) برابر باشد، مطابق شکل ۱۰-ج می‌تواند کمترین $LMTD$ ممکن را با توجه به اختلاف دمایی پینچ در چگالنده ایجاد کند.

همان‌طور که قبلاً توضیح داده شد افزایش شبیب دمایی در چگالنده، دمای خروجی پمپ را پایین‌تر آورده و $LMTD$ را در پیش‌گرم‌کن افزایش می‌دهد (در پیکربندی α)، از طرفی شبیب دمایی در تبخیر‌کننده $LMTD$ را در آن کم کرده و همچنین در صورتی که شبیب دمایی در چگالنده، پیش‌تر از شبیب دمایی جریان سرد شود، $LMTD$ در چگالنده افزایش پیدا می‌کند، این موضوعات را می‌توان به ترتیب در شکل ۱۰-الف، ۱۰-ب و ۱۰-ج مشاهده نمود.

هرچند پایین آمدن دمای پمپ در ابتدای پیش‌گرم‌کن باعث افزایش اختلاف دمایی متوسط لگاریتمی در آن است اما مطابق شکل ۱۰-الف، استفاده از مبدل حرارتی داخلی دمای ورودی پیش‌گرم‌کن را افزایش داده و از افزایش $LMTD$ در پیش‌گرم‌کن جلوگیری می‌کند.

سیال کاری سوم و چهارم که مطابق شکل ۹-الف در پیکربندی α و $\lambda = 40$ ، به ترتیب پیش‌ترین ($11/95^{\circ}C$) و کمترین ($4/63^{\circ}C$) اختلاف دمایی را در تبخیر‌کننده به وجود آورند، توانستند مطابق شکل ۱۰-ب،

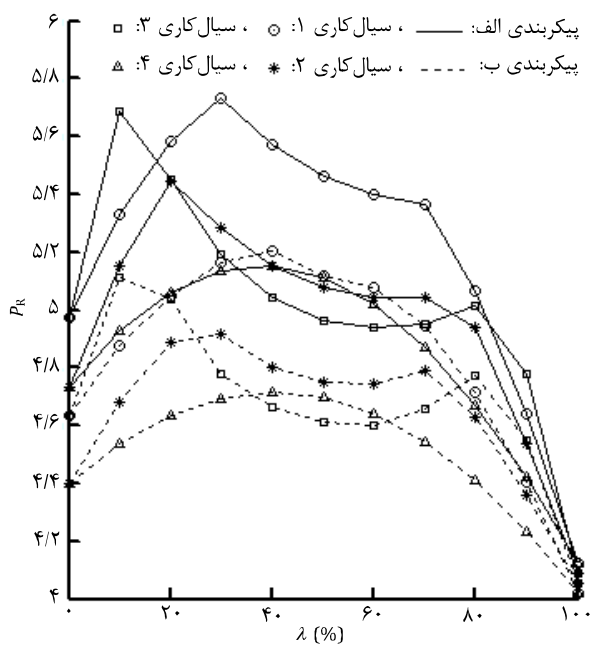


شکل ۹ اختلاف دمایی سیال کاری هنگام تغییر فاز در مقابل درصد مولی سیال تشکیل دهنده دوم

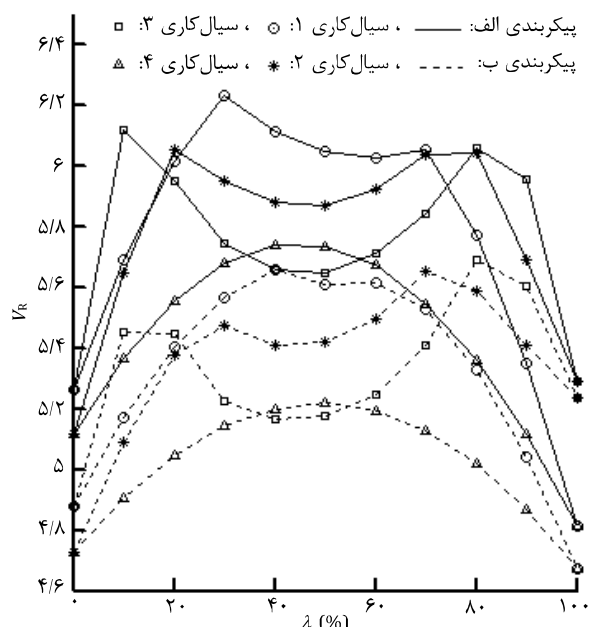
شکل ۹ اختلاف دمایی سیال کاری هنگام تغییر فاز در مقابل درصد مولی سیال تشکیل دهنده دوم

مطابق شکل ۹-ب سیال کاری چهارم در هیچ λ ‌ای، اختلاف دمایی آن در چگالنده بیشتر از 7°C نمی‌شود به همین دلیل مطابق شکل ۱۰-ج کاهش $LMTD$ ایجاد شده در چگالنده پیوسته است؛ اما در سیالات کاری دیگر، مطابق شکل ۹-ب، در λ ‌هایی که شبیه دمایی، اختلاف دمایی حدود 10°C و بیشتر ایجاد می‌کند همچون سیال کاری سوم در $\lambda = 20$ و سیال کاری اول در $\lambda = 50$ ، به دلیل بیشتر بودن شبیه دمایی در تغییر فازشان از شبیه جریان سرد، مطابقت دمایی کمتر و مطابق شکل ۱۰-ج روند کاهشی $LMTD$ متوقف می‌شود.

هرچند افزایش $LMTD$ اتفاقات اگرری در مدل‌ها را زیاد می‌کند اما از طرفی ظرفیت مدل مورد نیاز کاهش می‌باشد. در کل می‌توان گفت مقدار بازده سیکل با ظرفیت مدل‌ها نسبت عکس دارد. در شکل ۱۱ ظرفیت مدل حرارتی پیش گرم کن، تبخیر کننده و چگالنده نشان داده شده است. لازم به ذکر است با محاسبه ضریب انتقال حرارت مدل انتخابی (U) می‌توان به سطح مقطع مورد نیاز مدل (A) و در واقع اندازه آن دست یافت. هر چند هدف تحقیق حاضر بررسی این موضوع نیست.

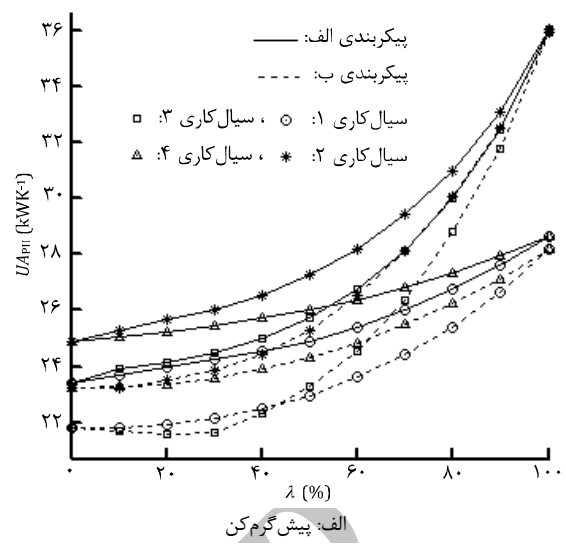


شکل ۱۲ نسبت فشار بین ورودی و خروجی توربین در مقابل درصد مولی سیال تشکیل دهنده دوم

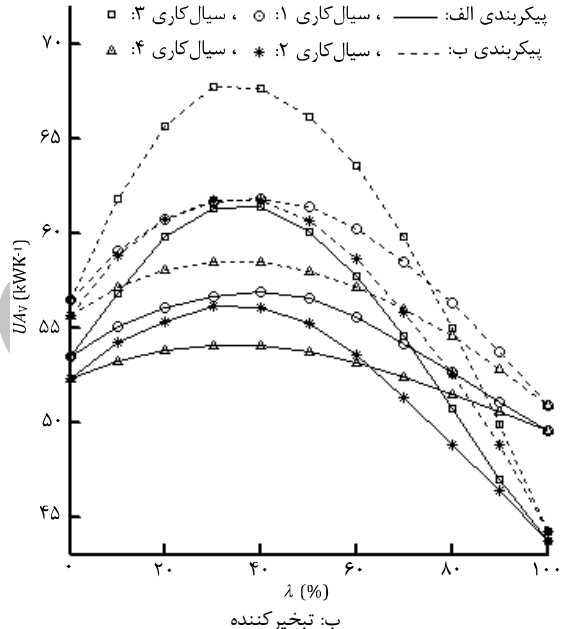


شکل ۱۳ نسبت حجم بین ورودی و خروجی توربین در مقابل درصد مولی سیال تشکیل دهنده دوم

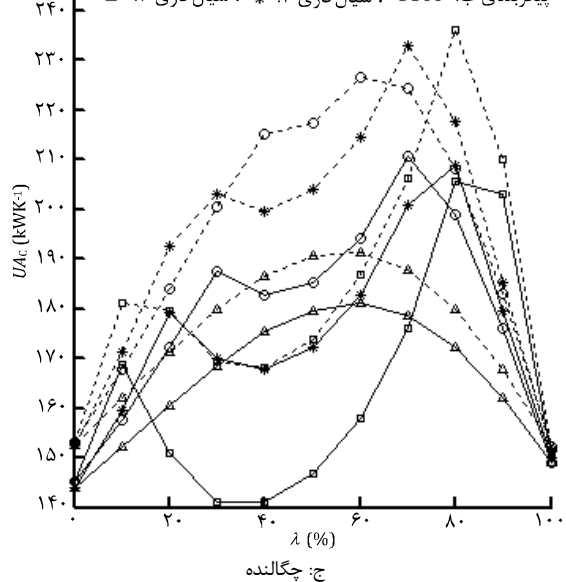
۳-۶- شرایط عملکردی توربین
 نسبت فشار و نسبت حجم بین ورودی و خروجی توربین می‌تواند در طراحی توربین مناسب، تعیین کننده باشد. در شکل ۱۲ و ۱۳ به ترتیب نسبت فشار و نسبت حجم نشان داده شده است. با توجه به شکل ۱۰، با تغییر λ و کاهش $LMTD$ در مبدل‌ها، مطابق شکل ۱۲ و ۱۳ نسبت فشار و حجم نیز در توربین زیاد می‌شود و پیرو آن کار تولیدی توربین نیز مطابق شکل ۵ و ۶ با توجه به اینکه حرارت و اگزرسی ورودی به سیکل ثابت است، افزایش می‌یابد. عدم مطابقت دمایی و افزایش $LMTD$ که در چگالنده با سیالات کاری اول، دوم و سوم، که در λ های میانی رخ می‌دهد، نیز باعث کاهش نسبت فشار و حجم و کاهش کار تولیدی در توربین می‌شود.



الف: پیش گرم کن



ب: تبخیر کننده



ج: چگالنده

با توجه به اینکه در ۴ سیال کاری مخلوط در نظر گرفته شده، همواره سیال تشکیل دهنده دوم، دمای بحرانی پایین‌تر و فشار بحرانی بیشتری نسبت به سیال تشکیل دهنده اول داشته است، مقایسه عملکرد سیکل در $\lambda=100$ نسبت به $\lambda=0$ نشان‌گر این است که سیالات تشکیل دهنده دوم به ازای تولید کار خالص واحد، دبی جرمی بیشتری داشته اما از طرفی دبی حجمی کمتری در ورودی توربین دارد. نسبت فشار توربین نیز در این سیالات کمتر است. همچنین در $\lambda=100$ استفاده از مبدل حرارتی داخلی تغییرات کمتری در عملکرد سیکل نسبت به عملکرد سیکل در پیکربندی الف ایجاد می‌کند.

۷-نتیجه‌گیری

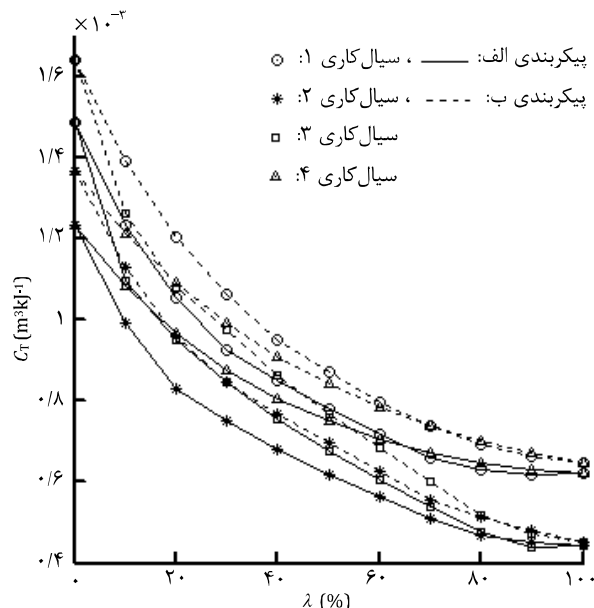
در این مطالعه، عملکرد سیکل ارگانیک رانکین با توجه به دمای ورودی و خروجی و دبی جریان منبع حرارتی سنجیده شد. دما و فشار در چگالنده و تبخیرکننده بر اساس شبیب دمایی جریان گرم و سرد و اختلاف دمای پینچ بدست آمد.

همچنین با توجه به ثابت در نظر گرفتن دمای ورودی و خروجی سیکل خنک‌کننده، که دبی آن بر اساس گرمای انتقال یافته تغییر می‌نمود، در این شرایط تاثیرات استفاده از چهار سیال مخلوط زئتروپیک دوجزی با توجه به تغییرات λ ، از لحاظ انرژی و اگزرسی برسی شد. شبیب دمایی سیال کاری سوم به دلیل اختلاف دمایی زیاد دمای بحرانی دو سیال تشکیل دهنده‌اش بیشترین و شبیب دمای سیال کاری چهارم کمترین مقدار بین سیالات کاری بود. از نتایج مهم بدست آمده می‌توان به این موارد اشاره کرد:

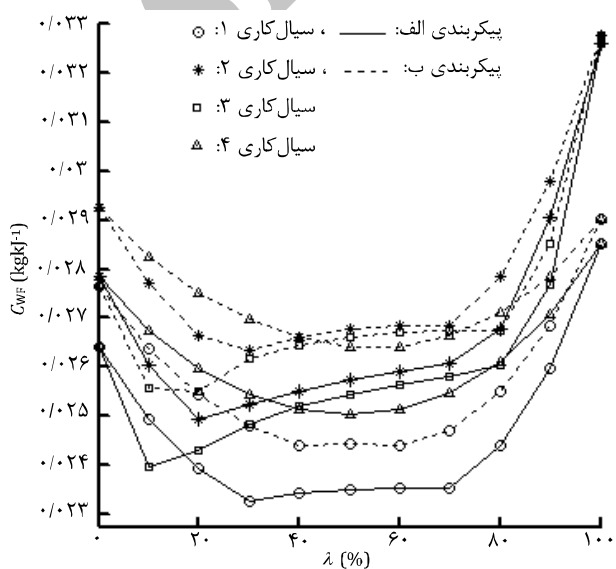
- اگر چه سیال کاری سوم با شبیب دمایی زیادی که در تغییر فاز داشت بهترین مطابقت دمایی را در تبخیرکننده برقار کرد و کمترین اتلاف اگزرسی را در آن داشت، اما بهترین بازده حرارتی و اگزرسی را سیال کاری اول به دلیل بهترین مطابقت شبیب دمایی اش با شبیب دمایی هر دو جریان سرد و گرم در تبخیرکننده و چگالنده بدست آورد؛ به طوری که در پیکربندی ب، استفاده از سیال کاری اول با $\lambda=60$ ، نسبت به سیال‌های خالص پنantan نرمال و بوتان نرمال، به ترتیب باعث افزایش بازده حرارتی $11\% / 14\%$ و $14\% / 14\%$ شده است.
- در شرایط مفروض در این تحقیق، مبدل حرارتی داخلی باعث افزایش دبی جرمی سیال کاری شده و از طرفی از نسبت فشار و حجم توربین کاسته، باعث افزایش دبی حجمی بخار ورودی به توربین و کاهش کارایی توربین نیز می‌شود. اما با توجه به اینکه حرارت را از خروجی توربین به ورودی پیش‌گرم کن منتقل می‌کند، باعث کاهش بازگشت‌ناپذیری‌ها در این دو جز شده و در کل بازده حرارتی و اگزرسی سیکل را افزایش می‌دهد.
- تاثیر مثبت استفاده از سیال کاری مخلوط در پیکربندی ب بیشتر از پیکربندی الف است. به طور مثال برای سیال کاری اول با $\lambda=30$ نسبت به پنantan نرمال خالص، بازده حرارتی و اگزرسی در پیکربندی الف هر کدام $75\% / 66\%$ زیاد شده است؛ در حالی که این مقادیر برای پیکربندی ب $14\% / 14\%$ است.

- استفاده از سیالات کاری مخلوط، علاوه بر افزایش بازده حرارتی و اگزرسی و کاهش بازگشت‌ناپذیری‌ها در مبدل‌های حرارتی، باعث کاهش دبی جرمی سیال کاری، کاهش دبی حجمی بخار ورودی به توربین و افزایش نسبت فشار و حجم در دو سر توربین نیز می‌شود.

- با توجه به بیشتر بودن شبیب دمایی سیال کاری مخلوط هنگام تغییر فاز در دمای پایین‌تر، بیشینه بازدهی که ممکن است با استفاده از سیالات مخلوط بدست آید، می‌تواند توسط شبیب دمایی جریان سرد در سیکل خنک



شکل ۱۴ دبی حجمی بخار ورودی به توربین نسبت به کار خالص تولیدی در مقابل درصد مولی سیال تشکیل دهنده دوم



شکل ۱۵ دبی جرمی سیال کاری نسبت به کار خالص تولیدی در مقابل درصد مولی سیال تشکیل دهنده دوم

با توجه به اینکه دبی حجمی بخار ورودی به توربین می‌تواند در اندازه توربین و هزینه آن موثر باشد، مطابق شکل ۱۴ هرچه دبی حجمی بخار ورودی به توربین نسبت به کار خالص تولیدی سیکل کمتر باشد، کارایی توربین در سیکل بیشتر و هزینه آن کمتر خواهد بود. طبق شکل ۱۵، دبی جرمی سیال کاری نسبت به کار خالص تولیدی سیکل نیز می‌تواند نسبت مناسبی برای سنجش هزینه‌های سیال کاری باشد. همان‌طور که در شکل ۱۴ و ۱۵ مشخص است استفاده از سیال کاری مخلوط می‌تواند این نسبت‌ها را کاهش دهد.

با توجه به شکل‌های ۱۲، ۱۳، ۱۴ و ۱۵ استفاده از مبدل حرارتی داخلی با توجه به ثابت در نظر گرفتن خصوصیات جریان حرارتی در کار حاضر، به ازای تولید کار واحد در سیکل، باعث افزایش دبی جرمی سیال کاری شده و از طرفی از نسبت فشار و حجم توربین کاسته و باعث افزایش دبی حجمی بخار ورودی به توربین و کاهش کارایی توربین نیز می‌شود.

۹- مراجع

- [1] B. Lio, K. Chien, C. Wang, Effect of working fluids on organic Rankine cycle for waste heat recovery, *Energy*, Vol. 29, No. 8, pp. 1207-1217, 2004.
- [2] Y. Dai, J. Wang, L. Gao, Parametric optimization and comparative study of organic Rankine cycle (ORC) for low grade waste heat recovery, *Energy Conversion and Management*, Vol. 50, No. 3, pp. 576-582, 2009.
- [3] P Mago, L. M. Charma, K. Srinivasan, C. Somayaji, An examination of regenerative organic Rankine cycles using dry fluids, *Applied Thermal Engineering*, Vol. 28, No. 8-9, pp. 998-1007, 2008.
- [4] D. Mikielewicz, J. Mikielewicz, A thermodynamic criterion for selection of working fluid for subcritical and supercritical domestic micro CHP, *Applied Thermal Engineering*, Vol. 30, No. 16, pp. 2357-2362, 2010.
- [5] W. Li, X. Feng, L. J. Yu, J. Xu, Effects of evaporating temperature and internal heat exchanger on organic Rankine cycle, *Applied Thermal Engineering*, Vol. 31, No. 17-18, pp. 4014-4023, 2011.
- [6] F. Heberle, M. Preibinger, D. Bruggemann, Zeotropic mixtures as working fluids in Organic Rankine Cycles for low-enthalpy geothermal resources, *Renewable Energy*, Vol. 37, No. 1, pp. 264-370, 2012.
- [7] Q. Chen, J. Xu, H. Chen, A new design method for Organic Rankine Cycles with constraint of inlet and outlet heat carrier fluid temperatures coupling with the heat source, *Applied Energy*, Vol. 98, , pp. 562-573, 2012.
- [8] M. Chys, M. van den Broek, B. Vanslambrouck, M. De Paepe, Potential of zeotropic mixtures as working fluids in organic Rankine cycles, *Energy*, Vol. 44, No. 1, pp. 623-632, 2012.
- [9] B. F. Tchanche, G. Papadakis, G. Lambrinos, A. Frangoudakis, Fluid selection for a low-temperature solar organic Rankine cycle, *Applied Thermal Engineering*, Vol. 29, No. 11-12, pp. 2468-2476, 2009.
- [10] A. Bejan, G. Tsatsaronis, M. Moran, *Thermal design and optimization*, pp. 39-163, New York: Wiley & Sons, 1996.
- [11] [Y. Cengel, M. Boles, *Thermodynamics: an engineering approach*, 5th ed, pp. 423-460, New York: McGraw-Hill, 2005.
- [12] H. Jafari, S. A. Behbahaninia, A. Engarnevis, Two-objective optimization o using combined cycle power plants waste for heating application, *Modares Mechanical Engineering*, Vol. 12, No. 4, pp. 120-132, 2012. (In Persian)
- [13] S. Quoilin, S. Declaye, A. Legros, L. Guillaume, V. Lemort, Working fluid selection and operating maps for Organic Rankine Cycle expansion machines, *International Compressor Engineering Conference*, Purdue, 2012.
- [14] Aspen HYSYS, Version 7.3 (25.0.0.7336), Copyright (c) 1981-2011 by Aspen Technology; <http://www.aspentechnology.com>
- [15] MATLAB, Version 7.9.0.529 (R2009b), Copyright 1984-2009 by The MathWorks ; <http://www.mathworks.com>
- [16] N. Woudstra, T. P. Van der Stelt, *Cycle-Tempo: a program for the thermodynamic analysis and optimization of systems for the production of electricity, heat and refrigeration*. NL: Energy Technology Section, Delft University of Technology, 2002.
- [17] LS. Lasdon, AD. Waren, A. Jain, M. Ratner, Design and testing of a generalized reduced gradient code for nonlinear programming, *ACM Transactions on Mathematical Software*, Vol. 4, No. 1, pp 34-49, 1978

کننده، محدود شود. به این ترتیب توصیه می شود در صورت استفاده از سیالات خالص، بهتر است دبی جرمی جریان سرد زیاد شود، اما اختلاف دمای ورودی و خروجی آن کم باشد و در صورت استفاده از سیالات کاری مخلوط نیز با توجه به شبیه دمایی سیال کاری در چگالنده، اختلاف دمای ورودی و خروجی جریان سرد بیشتر و دبی آن کمتر شود تا بهترین مطابقت دمایی در چگالنده بدست آید.

۸- فهرست علائم

(m^2)	A
ضریب اقتصادی	C
$(kJkg^{-1})$	e
نرخ اگزرسی	\dot{E}
$(kJkg^{-1})$	h
اختلاف دمای متوسط لگاریتمی (K)	LMTD
دبی جرمی	\dot{m}
($kgm^{-1}s^{-2}$)	P
فشار	\dot{P}
نرخ حرارت (kW)	\dot{Q}
$(kJkg^{-1}K^{-1})$	s
(دما)	T
ضریب انتقال حرارت کلی (kWm^2K^{-1})	U
ظرفیت مبدل (kWK^{-1})	UA
حجم (m^3)	V
نرخ کار (kW)	\dot{W}
اختلافات اگزرسی نسبی	y
علائم یونانی	
بازده (%)	η
درصد جزء دوم در مخلوط (%)	λ
زیرنویس ها	
حالت مرده	0
نقاط سیکل	1, 2, 3, ...
چگالنده	C
اتفاقات	D
دی سوپرهیتر	DS
اختلاف دمایی هنگام تغییر فاز سیال کاری	G
به شکل حرارت	heat
قانون اول	I
مبدل حرارتی داخلی	IHE
قانون دوم	II
ورودی	in
به طور خالص	net
خروجی	out
پیش گرم کن	PH
پمپ	P
نسبی	R
توربین	T
تبخیر کننده	V
سیال کاری	WF